

# Consistência inter-avaliador de mensurações radiológicas para diagnóstico de sindesmore

DOCUMENTO: SAR-2022-012-IC-v01

De: Felipe Figueiredo Para: Isnar Castro

2022-05-10

## SUMÁRIO

1	LISTA DE ABREVIATURAS.....	2
2	CONTEXTO.....	2
2.1	Objetivos.....	2
2.2	Recepção e tratamento dos dados.....	2
3	METODOLOGIA.....	2
3.1	Parâmetros do estudo.....	2
3.1.1	Desenho do estudo.....	2
3.1.2	Crêterios de inclusão e exclusão.....	2
3.1.3	Exposições.....	2
3.1.4	Desfechos.....	2
3.1.5	Covariáveis.....	2
3.2	Análises Estatísticas.....	2
4	RESULTADOS.....	3
4.1	População do estudo e acompanhamento.....	3
4.2	Análise inferencial.....	5
5	OBSERVAÇÕES E LIMITAÇÕES.....	6
6	CONCLUSÕES.....	6
7	REFERÊNCIAS.....	6
8	APÊNDICE.....	7
8.1	Análise exploratória de dados.....	7
8.2	Disponibilidade.....	7
8.3	Dados utilizados.....	7

# Consistência inter-avaliador de mensurações radiológicas para diagnóstico de sindesmose

## Histórico do documento

Versão	Alterações
01	Versão inicial

## 1 LISTA DE ABREVIATURAS

## 2 CONTEXTO

### 2.1 Objetivos

### 2.2 Recepção e tratamento dos dados

## 3 METODOLOGIA

### 3.1 Parâmetros do estudo

#### 3.1.1 Desenho do estudo

#### 3.1.2 Critérios de inclusão e exclusão

#### 3.1.3 Exposições

#### 3.1.4 Desfechos

#### 3.1.5 Covariáveis

### 3.2 Análises Estatísticas

Esta análise foi realizada utilizando-se o software R versão 4.1.3.

## 4 RESULTADOS

### 4.1 População do estudo e acompanhamento

**Tabela 1** caption

Características	Dorsal, N = 174	Plantar, N = 174
<b>Distância A, Média (Desvio Padrão)</b>	0.33 (0.12)	0.35 (0.13)
Desconhecido	11	10
<b>Distância B, Média (Desvio Padrão)</b>	0.66 (0.21)	0.63 (0.25)
Desconhecido	11	10
<b>Distância C, Média (Desvio Padrão)</b>	0.32 (0.12)	0.35 (0.16)
Desconhecido	11	10
<b>Rotação 1, Média (Desvio Padrão)</b>	0.53 (0.19)	0.62 (0.30)
Desconhecido	11	10
<b>Rotação 2, Média (Desvio Padrão)</b>	0.33 (0.19)	0.28 (0.22)
Desconhecido	11	10
<b>Phisitiku, Média (Desvio Padrão)</b>	0.20 (0.15)	0.20 (0.15)
Desconhecido	11	10
<b>Zwipp, Média (Desvio Padrão)</b>	89 (8)	90 (8)
Desconhecido	11	10

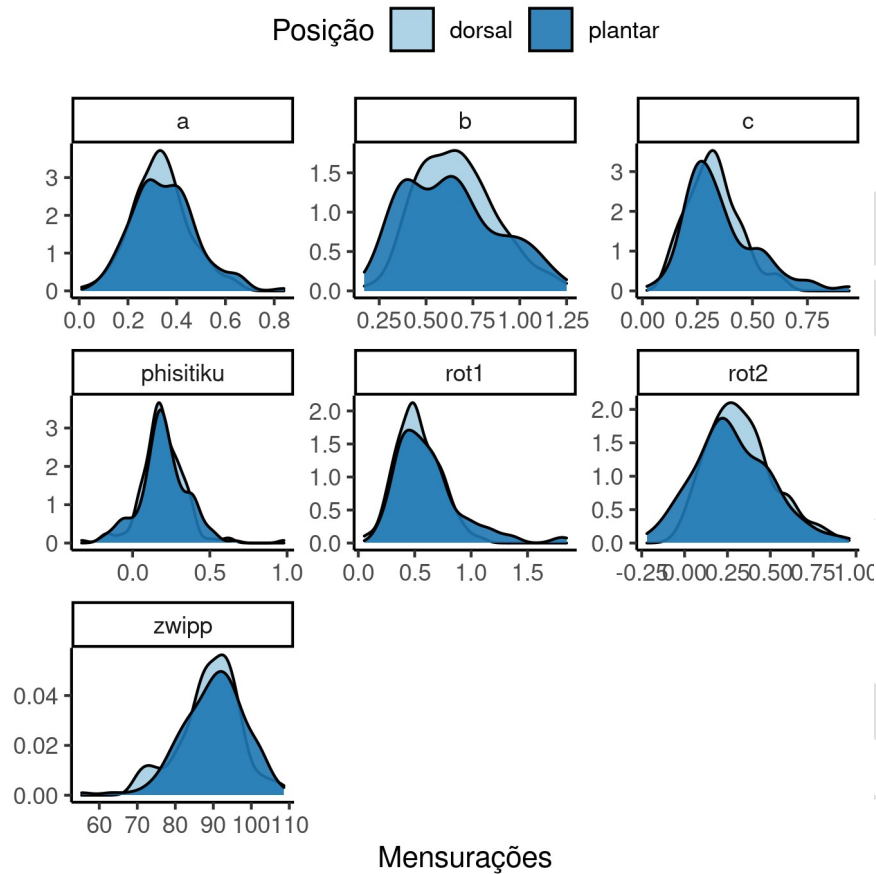
**Tabela 2** caption

Características	Avaliador 1, N = 36	Avaliador 2, N = 34	Avaliador 3, N = 32	Avaliador 4, N = 36	Avaliador 5, N = 36
Distância A, Média (Desvio Padrão)	0.42 (0.11)	0.35 (0.14)	0.35 (0.12)	0.38 (0.13)	0.26 (0.10)
Desconhecido	7	0	2	0	1
Distância A, Média (Desvio Padrão)	0.41 (0.10)	0.33 (0.11)	0.31 (0.10)	0.36 (0.13)	0.28 (0.10)
Desconhecido	8	0	2	0	1
Distância B, Média (Desvio Padrão)	0.78 (0.18)	0.71 (0.23)	0.45 (0.22)	0.79 (0.22)	0.43 (0.11)
Desconhecido	7	0	2	0	1
Distância B, Média	0.78 (0.20)	0.72 (0.17)	0.64 (0.16)	0.75 (0.20)	0.46 (0.11)

Relatório de Análise Estatística (SAR)

(Desvio Padrão)					
Desconhecido	8	0	2	0	1
Distância C, Média (Desvio Padrão)	0.33 (0.12)	0.32 (0.14)	0.53 (0.20)	0.33 (0.12)	0.28 (0.10)
Desconhecido	7	0	2	0	1
Distância C, Média (Desvio Padrão)	0.34 (0.13)	0.33 (0.12)	0.33 (0.12)	0.33 (0.12)	0.29 (0.09)
Desconhecido	8	0	2	0	1
Rotação 1, Média (Desvio Padrão)	0.55 (0.14)	0.52 (0.23)	0.88 (0.41)	0.51 (0.20)	0.64 (0.29)
Desconhecido	7	0	2	0	1
Rotação 1, Média (Desvio Padrão)	0.54 (0.13)	0.47 (0.17)	0.50 (0.20)	0.50 (0.21)	0.62 (0.22)
Desconhecido	8	0	2	0	1
Rotação 2, Média (Desvio Padrão)	0.36 (0.16)	0.36 (0.22)	0.10 (0.20)	0.41 (0.23)	0.17 (0.12)
Desconhecido	7	0	2	0	1
Rotação 2, Média (Desvio Padrão)	0.38 (0.17)	0.39 (0.17)	0.33 (0.16)	0.39 (0.23)	0.18 (0.11)
Desconhecido	8	0	2	0	1
Phisitiku, Média (Desvio Padrão)	0.21 (0.15)	0.20 (0.15)	0.27 (0.15)	0.23 (0.10)	0.11 (0.15)
Desconhecido	7	0	2	0	1
Phisitiku, Média (Desvio Padrão)	0.19 (0.11)	0.15 (0.15)	0.32 (0.19)	0.21 (0.09)	0.12 (0.11)
Desconhecido	8	0	2	0	1
Zwipp, Média (Desvio Padrão)	85 (11)	92 (8)	92 (7)	91 (7)	91 (7)
Desconhecido	7	0	2	0	1
Zwipp, Média (Desvio Padrão)	84 (8)	91 (7)	91 (8)	91 (8)	88 (7)
Desconhecido	8	0	2	0	1

Relatório de Análise Estatística (SAR)



**Figura 1** caption

## 4.2 Análise inferencial

**Tabela 3** caption

Características	Dorsal, N = 163	Plantar, N = 163	Valor p <sup>1</sup>
Rotação 1, Média (Desvio Padrão)	0.53 (0.19)	0.62 (0.30)	<0.001
Rotação 2, Média (Desvio Padrão)	0.33 (0.19)	0.28 (0.23)	0.004
Distância C, Média (Desvio Padrão)	0.32 (0.12)	0.35 (0.16)	0.011
Phisitiku, Média (Desvio Padrão)	0.20 (0.15)	0.20 (0.15)	0.597
Zwipp, Média (Desvio Padrão)	89 (8)	90 (8)	0.076

<sup>1</sup>Teste t pareado

**Tabela 4** caption

Métrica	ICC	IC	Valor p
Distância C	0.29	[0.16, 0.49]	<0.001
Rotação 1	0.09	[0.01, 0.23]	0.008
Rotação 2	0.23	[0.11, 0.41]	<0.001
Phisitiku	0.31	[0.18, 0.50]	<0.001
Zwipp	0.02	[-0.03, 0.13]	0.2

## 5 OBSERVAÇÕES E LIMITAÇÕES

## 6 CONCLUSÕES

## 7 REFERÊNCIAS

- **SAP-2022-012-IC-v01** – Plano Analítico para Consistência inter-avaliador de mensurações radiológicas para diagnóstico de sindesmose

## 8 APÊNDICE

### 8.1 Análise exploratória de dados

### 8.2 Disponibilidade

Todos os documentos gerados nessa consultoria foram incluídos no portfólio do consultor.

O portfólio pode ser visto em:

<https://philsf-biostat.github.io/SAR-2022-012-IC/>

### 8.3 Dados utilizados

A tabela A1 mostra a estrutura da tabela de dados analíticos.

**Tabela A1** Estrutura da tabela de dados analíticos

id	avaliador	posicao	a	b	c	rot1	rot2	phisitiku	zwipp
1									
2									
3									
...									
N									

Os dados utilizados neste relatório não podem ser publicados online por questões de sigilo.